

FEZF1-AS1 在子宫内膜癌中的表达及其与患者临床特征的相关性

李功娟¹, 张治洋², 樊阳阳³

(1. 安康市汉滨区第一人民医院妇科, 陕西安康 725000; 2. 安康市人民医院妇科, 陕西安康 725000;
3. 陕西省人民医院产科, 西安 710068)

摘要: 目的 探讨 FEZ 家族锌指 1 反义 RNA 1 (FEZF1-AS1) 在子宫内膜癌 (endometrial cancer, EC) 中的表达及其与临床病理的相关性。方法 选取 2010 年 1 月~2018 年 1 月安康市人民医院收治的 172 例 EC 患者为研究对象, 通过实时荧光定量 PCR(quantitative real-time PCR, qPCR) 分别检测患者的 EC 组织和癌旁正常组织中 FEZF1-AS1 的相对表达量, 并且分析 FEZF1-AS1 表达水平与 EC 患者临床特征之间的关系。结果 FEZF1-AS1 在 EC 组织中的相对表达量显著高于癌旁正常组织 ($P=0.007$), 其表达水平与 EC 患者家族肿瘤史 ($\chi^2=6.891$, $P=0.016$)、病理分级 ($\chi^2=7.142$, $P=0.028$)、肿瘤分期 ($\chi^2=10.426$, $P=0.002$)、T 分期 ($\chi^2=8.248$, $P=0.007$) 和 M 分期 ($\chi^2=10.405$, $P=0.002$) 显著相关。结论 FEZF1-AS1 在 EC 中高表达, 且其与患者的家族肿瘤史、病理分级和肿瘤分期等相关。

关键词: FEZ 家族锌指 1 反义 RNA 1; 子宫内膜癌; 临床特征; 相关性

中图分类号: R737.33; R730.43 **文献标识码:** A **文章编号:** 1671-7414 (2021) 01-077-04

doi: 10.3969/j.issn.1671-7414.2021.01.020

Expression of FEZF1-AS1 in Endometrial Carcinoma and Its Correlation with Clinical Characteristics of Patients

LI Gong-juan¹, ZHANG Zhi-yang², FAN Yang-yang³

(1. Department of Gynecology, the First People's Hospital of Ankang Hanbin District, Shaanxi Ankang 725000, China;
2. Department of Gynaecology, Ankang People's Hospital, Shaanxi Ankang 725000, China; 3. Department of Obstetrics,
Shaanxi Provincial People's Hospital, Xi'an 710068, China)

Abstract: Objective To investigate the expression of FEZF1-AS1 in endometrial carcinoma(EC) and its correlation with clinicopathology. **Methods** A total of 172 EC patients admitted to Ankang People's Hospital from January 2010 to January 2018 were selected as the research objects. Quantitative real-time PCR(qPCR) was used to detect the relative expression level of FEZF1-AS1 in the EC tissues and adjacent normal tissues of the patients, and the relationship between the expression level of FEZF1-AS1 and the clinical characteristics of EC patients was analyzed. **Results** The relative expression level of FeZF1-AS1 in EC tissues was significantly higher than that in adjacent normal tissues ($P=0.007$), and its expression level was significantly correlated with the family tumor history ($\chi^2=6.891$, $P=0.016$), pathological grade ($\chi^2=7.142$, $P=0.028$), tumor stage ($\chi^2=10.426$, $P=0.002$), T stage ($\chi^2=8.248$, $P=0.007$), and M stage ($\chi^2=10.405$, $P=0.002$) of EC patients. **Conclusion** FEZF1-AS1 was highly expressed in EC, and it was related to the family tumor history, pathological grade and tumor stage of the patient.

Keywords: FEZF1-AS1; endometrial cancer; clinical characteristics; correlation

子宫内膜癌 (endometrial cancer, EC) 是全世界常见的女性生殖系统恶性肿瘤之一^[1-4]。我国 EC 发病率呈逐年上升趋势, 其发病率仅次于宫颈癌的妇科肿瘤, 在部分城市已成为发病率最高的妇科肿瘤, 且病死率居高不下。目前对于 EC 患者的治疗以手术切除为主, 以放疗和化疗作为辅助治疗^[5-6], 对于 EC 仍以早诊断早治疗为主要手段对其进行防治, 但是目前缺乏有效的, 能够准确对 EC 进行预

测的生物标志物。研究长链非编码 RNA(long non-coding RNA, lncRNA) 在肿瘤的发生和发展过程中发挥重要作用, 能够作为肿瘤发展和预后的生物标志物^[7-8], 如 lnc-TP73-AS1 能够通过作用于 miR-200a 依赖的 HMGB1/RACE 促进肝癌细胞增殖。FEZ 家族锌指 1 反义 RNA 1 (FEZ family zinc finger 1 antisense RNA 1, FEZF1-AS1) 首先于 2014 年被报道在结直肠癌中促进肿瘤转移, 目前研究发现

作者简介: 李功娟(1986-), 女, 本科, 主治医师, 研究方向: 滋养细胞肿瘤、妇科恶性肿瘤, E-mail:ankangligongj@163.com。

通讯作者: 张治洋(1976-), 女, 本科, 副主任医师, 研究方向: 宫颈癌、子宫内膜癌、卵巢癌, E-mail:864318979@qq.com。

FEZF1-AS1 在非小细胞肺癌、胃癌、结直肠癌、骨肉瘤、乳腺癌、卵巢癌等多种肿瘤中均发挥促癌基因的作用，但是尚未见到其在子宫内膜癌中的报道。本研究通过大样本临床标本中检测 FEZF1-AS1 及其靶基因 FEZF1 在 EC 组织中的表达量，并分析其与患者临床特征之间的关联，并以此揭示 FEZF1-AS1 在 EC 发生和发展过程中所起的作用。

1 材料与方法

1.1 研究对象 选取 2010 年 1 月 ~ 2018 年 1 月安康市人民医院收治的 172 例 EC 患者为研究对象，年龄 35 ~ 72 岁，平均年龄为 47.16 ± 12.73 岁；病程 1 ~ 6 个月，平均病程为 2.45 ± 0.63 月。纳入标准：①患者均经病理检查确诊为 EC；②病历资料齐全；③本研究经我院伦理委员会审核通过；④患者自愿参加且均签署知情书。排除标准：①严重心肝肾功能不全者；②并发其他恶性肿瘤者；③并发精神障碍者；④妊娠或哺乳期女性。

1.2 试剂和仪器 ABI 7500 PCR 仪（美国 ABI 公司），RNA 提取试剂盒（天根生化科技有限公司），PrimeScript RT reagent Kit 和 SYBR Green Quantitative RT-qPCR Kit 购自日本 TaKaRa 生物公司。

1.3 方法 采集 EC 患者的癌组织及其癌旁正常组织，使用石蜡进行标本处理。提取 EC 患者癌组织及其癌旁正常组织中的总 RNA，采用 PrimeScript RT reagent Kit 反转录成 cDNA，以 cDNA 为模板特异性扩增，所有实验均重复三次。qRT-qPCR 程序设定为：94℃ 预热 3 min, 94℃ 30 s, 56℃ 35 s, 72℃ 25 s，共 40 个循环。qRT-qPCR 引物序列如下：FEZF1-AS1：F：TTAGGAGGCTTGTCTGTGT，R：GCGCAGGTACTTAAGAAAGA；GAPDH：F：GTCGATGGCTAGTCGTAGCATCGAT，R：TGCTAGCTGGCATGCCGATCGATC。

1.4 统计学分析 采用配对 *t* 检验分析癌组织和对应癌旁正常组织中 FEZF1-AS1 表达水平的差异，采用 χ^2 检验和独立样本 *t* 检验分析不同 EC 患者临床特征及疾病进展中 FEZF1-AS1 表达水平的差异， $P < 0.05$ 为差异具有统计学意义。

2 结果

2.1 FEZF1-AS1 在 EC 组织中高表达 见图 1。课题组采用实时荧光定量 PCR 法检测了 172 对 EC 癌 - 正常组织，发现 FEZF1-AS1 在癌组织中的表达量 (0.0059 ± 0.0217) 显著高于对应癌旁正常组织 (0.0017 ± 0.0056) 达 3.5 倍，差异有统计学意义 ($P=0.007$)。

2.2 FEZF1-AS1 表达水平与 EC 患者临床特征之间的关系 见表 1。分析 FEZF1-AS1 表达水平 [将肿瘤组织中 FEZF1-AS1 相对表达量中位数及以上的分为高表达组 86 例 (50.0%)，反之为低表达组

86 例 (50.0%)] 与 EC 患者临床特征之间的关系可见，FEZF1-AS1 高表达与 EC 患者家族肿瘤史 ($\chi^2=6.891$, $P=0.016$)、病理分级 ($\chi^2=7.142$, $P=0.028$)、肿瘤分期 ($\chi^2=10.426$, $P=0.002$)、T 分期 ($\chi^2=8.248$, $P=0.007$) 和 M 分期 ($\chi^2=10.405$, $P=0.002$) 相关，其余则无相关性。

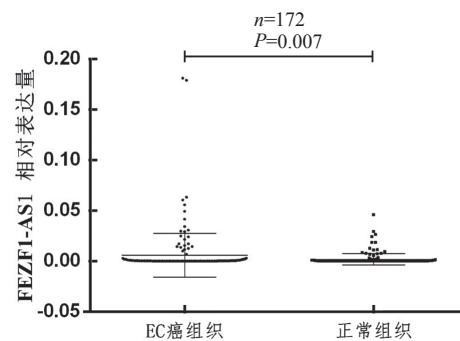


图 1 FEZF1-AS1 在 EC 中高表达

3 讨论

子宫内膜癌 (EC) 作为最常见的女性生殖系统恶性肿瘤之一，给女性健康带来了极大的危害^[9]。文献报道，子宫内膜癌的高危因素包括较高的雌激素水平、月经初潮时间早、绝经时间、HPV 感染等。随着医学科学的不断发展，诊断水平得到显著提升，这对于子宫内膜癌的早发现和早诊断起到了巨大作用，这也是子宫内膜癌的患病率显著增加的一个重要原因，但是，在患病率增加的情况下，对于子宫内膜癌的治疗却没能有一个质的飞跃，子宫内膜癌患者生存期仍然未得到显著提升，因此，寻找新的治疗靶点是子宫内膜癌治疗的重中之重。近年的研究发现，lncRNA 在肿瘤的发生和发展中发挥重要调节作用^[10-11]。在子宫内膜癌中，亦有少量 lncRNA 被报道与其发生和发展相关，如：结肠癌相关转录因子 1 (Colon cancer-related transcription factors 1, CCAT1) 能够通过吸附 miR-181a-5p 促进子宫内膜癌细胞增殖^[12]；前列腺特异性转录 1 (prostate-specific transcript 1, 亦称 PCGEM1) 能够联合作用 STAT3 促进子宫内膜癌发生和发展；X 染色体相关非编码 RNA1 (X chromosome-linked lncRNA 1, XLE1C1) 在子宫内膜癌中通过与碱性牛奶蛋白 1 (milk basic protein 1, MBP-1) 协同调控 c-myc 依赖性细胞生长。目前尚未见到 FEZF1-AS1 在子宫内膜癌中所起作用的报道。

本研究通过检测大样本临床组织标本 FEZF1-AS1 及其靶基因 FEZF1 的表达情况，发现 FEZF1-AS1 及 FEZF1 在子宫内膜癌组织中均高表达，且二者表达呈正相关。通过分析其表达水平与患者临床特征之间的关系发现，FEZF1-AS1 高表达与患者家族肿瘤史、病理分级、肿瘤分期、是 T 分期和 M

分期相关。陈娜^[13]研究发现 FEZF1-AS1 在结直肠癌中高表达，且其高表达与肿瘤大小、年龄、性别无关，但与淋巴结转移、远端转移、dukes 分期、肿瘤分化程度显著相关，且其高表达与结直肠癌患者生存期缩短相关，该研究结论与本研究在子宫内膜癌中的结论相似。本研究中靶基因 FEZF1 的表达与前文陈娜^[13]在结直肠癌中的研究相似，FEZF1 高表达与子宫内膜癌患者家族肿瘤史、病理分级、

肿瘤分期、T 分期、N 分期和 M 分期相关。且陈娜的研究亦显示 FEZF1-AS1 与 FEZF1 存在靶向调控的关系。FEZF1-AS1 定位于 7q31.32，该区域常见肿瘤发生的报道。另有研究显示 FEZF1-AS1 能够通过吸附 miR-4443 促进骨肉瘤恶化，在乳腺癌中通过调节 miR-30a 的表达促进肿瘤生成。FEZF1-AS1 在卵巢癌中高表达并促进卵巢癌恶化。

表 1

FEZF1-AS1 表达水平与 EC 临床特征之间的关系 [n(%)]

临床特征		低表达 (n=86)	高表达 (n=86)	χ^2	P
年龄(岁)	<60	63(73.3)	53(61.6)	2.648	0.143
	≥ 60	23(26.7)	33(38.4)		
家族肿瘤史	无	83(96.5)	73(84.9)	6.891	0.016
	有	3(3.5)	13(15.1)		
是否绝经	否	30(34.9)	33(38.4)	0.225	0.752
	是	56(65.1)	53(61.6)		
病理分级	低分化	49(57.0)	33(38.4)	7.142	0.028
	中分化	19(22.1)	21(24.4)		
	高分化	18(20.9)	32(37.2)		
病理分型	子宫内膜样腺癌	49(57.0)	56(65.1)	2.337	0.689 [*]
	鳞状细胞癌	14(16.3)	15(17.4)		
	浆液性腺癌	9(10.5)	5(5.8)		
	透明细胞癌	11(12.8)	8(9.3)		
	黏液性腺癌	3(3.5)	2(2.3)		
肿瘤分期	I + II	48(55.8)	27(31.4)	10.426	0.002
	III + IV	38(44.2)	59(68.6)		
T	1+2	33(38.4)	16(18.6)	8.248	0.007
	3+4	53(61.6)	70(81.4)		
N	0	26(30.2)	21(24.4)	0.732	0.494
	1+2+3	60(69.8)	65(75.6)		
M	0	39(45.3)	19(22.1)	10.405	0.002
	1	47(54.7)	67(77.9)		
HPV 感染	否	31(36.0)	27(31.4)	0.416	0.629
	是	55(64.0)	59(68.8)		

注：*Fisher's exact P 值。

综上所述，FEZF1-AS1 在子宫内膜癌的发生和发展过程中发挥促癌作用，且 FEZF1-AS1 的表达与 FEZF1 的表达呈正相关。但本研究仅从人群关联的角度发现二者表达呈正相关，虽已有文献报道二者在结直肠癌中表达呈正相关，但本研究尚未进一步从细胞和分子层面对其调控机制进行研究，是本研究的不足之处。

参考文献：

- [1] ALLEMANN C, MATSUDA T, CARLO V D, et al. Global surveillance of trends in cancer survival 2000-14 (CONCORD-3): analysis of individual records for

37 513 025 patients diagnosed with one of 18 cancers from 322 population-based registries in 71 countries[J]. Lancet (London, England), 2018, 391(1125): 1023-1075.

- [2] BRAY F, FERLAY J, SOERJOMATARAM I, et al. Global cancer statistics 2018: GLOBOCAN estimates of incidence and mortality worldwide for 36 cancers in 185 countries[J]. CA-A Cancer Journal for Clinicians, 2018, 68(6): 394-424.
[3] CHEN Wanqing, ZHENG Rongshou, BAADE P D, et al. Cancer statistics in China, 2015[J]. CA-A Cancer Journal for Clinicians, 2016, 66(2): 115-132.
[4] SIEGEL R L, MILLER K D, JEMAL A. Cancer statistics, 2019[J]. CA-A Cancer Journal for Clinicians,

- 2019, 69(1): 7-34.
- [5] 李晓丽, 胡陇娟. 子宫内膜癌组织中长链非编码RNA ZEB1-AS1的表达与临床特征及对化疗药物耐药性研究 [J]. 现代检验医学杂志, 2019, 34(4):35-39.
LI Xiaoli, HU Longjuan. Research on expression and clinical characteristics of long-chain non-coding RNA ZEB1-AS1 in endometrial carcinoma and resistance to chemotherapy drugs[J].Journal of Modern Laboratory Medicine,2019,34(4):35-39.
- [6] 李玲, 罗雅文, 何霞, 等. 子宫内膜癌患者BMI与血清HE4,CA125联合检测的诊断价值 [J]. 现代检验医学杂志, 2018, 33(5): 91-94.
LI Ling, LUO Yawen, HE Xia, et al. Diagnostic value of combined detection of body mass index and serum HE4,CA125 in patients with endometrial carcinoma [J]. Journal of Modern Laboratory Medicine,2019,34(5):91-94.
- [7] 李杰萍, 邹建平, 江絮萍, 等. Omega-3多不饱和脂肪酸衍生物18-HEPE对人子宫内膜癌细胞株侵袭的抑制作用研究 [J]. 现代检验医学杂志, 2020, 35(1): 16-19.
LI Jieping, ZOU Jianping, JIANG Xuping, et al. Suppression of omega-3 PUFA derivative 18-HEPE on the invasion of endometrial cancer cell lines [J]. Journal of Modern Laboratory Medicine, 2020, 35(1):16-19.
- [8] 张红雨, 陆奉科, 李山, 等. 子宫内膜癌患者血清CA125水平与外周血RDW检测在临床病理分期中的应用价值 [J]. 现代检验医学杂志, 2020, 35(1): 94-96, 100.
ZHANG Hongyu, LU Fengke, LI Shan, et al. Value of serum CA125 level and peripheral blood RDW detection in clinical pathological staging of patients with endometrial cancer[J]. Journal of Modern Laboratory Medicine, 2020, 35(1):94-96, 100.
- [9] ZHANG H H, LI A H. Long non-coding RNA FEZF1-AS1 is up-regulated and associated with poor prognosis in patients with cervical cancer[J]. European Review for Medical and Pharmacological Sciences, 2018, 22(11): 3357-3362.
- [10] FANG Changyi, QIU Shenglong, SUN Feng, et al. Long non-coding RNA HNF1A-AS1 mediated repression of miR-34a/SIRT1/p53 feedback loop promotes the metastatic progression of colon cancer by functioning as a competing endogenous RNA[J]. Cancer Letters, 2017, 410: 50-62.
- [11] NONG Qingwen, LI Shuntang, WU Yajun, et al. LncRNA COL1A2-AS1 inhibits the scar fibroblasts proliferation via regulating miR-21/Smad7 pathway[J]. Biochemical and Biophysical Research Communications, 2018, 495(1): 319-324.
- [12] LI Shaling, HUANG Yan, HUANG Yun, et al. The long non-coding RNA TP73-AS1 modulates HCC cell proliferation through miR-200a-dependent HMGB1/RAGE regulation[J]. Journal of Experimental & Clinical Cancer Research, 2017, 36(1): 51.
- [13] 陈娜, 长链非编码RNA FEZF1-AS1在结直肠癌转移中的功能及相关机制初步研究 [D]. 广州: 南方医科大学, 2014:1-97
CHEN Na. The role and mechanism of long non-coding RNA FEZF1-AS1 in the metastasis of colorectal carcinoma[D]. Guangzhou: Southern Medical University, 2014: 1-97.

收稿日期: 2020-09-11

修回日期: 2020-09-24

(上接第5页)

- [34] BERGERON C, IKENBERG H, SIDERI M, et al. Prospective evaluation of P16/Ki67 dual-stained cytology form managing women with abnormal Papanicolaou cytology: PALMS study results [J]. Cancer Cytopathol,2015,123(6):373-381.
- [35] DAVEY D D, NARYSHKIN S, NIELSEN M L, et al. Atypical squamous cells of undetermined significance: inter laboratory comparison and quality assurance monitors[J].Diagnostic Cytopathology,1994,11(4):390-396.
- [36] ZHU Yuanhang, REN Chenchen, YANG Li, et al. Performance of p16/Ki67 immunostaining, HPV E6/E7 mRNA testing, and HPV DNA assay to detect high-grade cervical dysplasia in women with ASCUS [J]. BMC Cancer,2019,19 (1): 271.
- [37] WENTZENSEN N, CLARKE M A, BREMER R, et al. Clinical evaluation of human papilloma virus screening with P16/Ki67 dual stain triage in a large organized cervical cancer screening program[J].JAMA Intern Med,2019,179(7):0306.
- [38] 许淑霞, 林建松, 詹燕美. p16/Ki-67免疫细胞化学双染法对宫颈病变的筛查价值 [J]. 中华病理学杂志 , 2018, 47(3):207-208.
XU Shuxia, LIN Jiansong, ZHAN Yanmei. Value of p16/Ki-67 dual-staining immunocytochemistry in cervical cancer screening[J]. Chinese Journal of Pathology, 2018, 47(3): 207-208.
- [39] ZHANG Shaokai, JIA Manman, ZHAO Dongmei, et al. Evaluation of p16/Ki-67 dual staining in the detection of cervical precancer and cancer in China [J].Cancer Epidemiology, 2019, 59: 123-128.
- [40] 马春华, 马金, 王琳, 等.P16/Ki67细胞学双染在宫颈癌筛查分流中的意义 [J]. 中国生育健康杂志 , 2020,31(4): 374-377.
MA Chunhua, MA Jin, WANG Lin, et al. Significance of P16/Ki67 cytological double staining in ing shunt of cervical cancer[J]. Chinese Journal of Reproductive Health,2020,31(4):374-377.

收稿日期: 2020-08-26

修回日期: 2020-09-22